

# CENTRAL ASIAN JOURNAL OF THEORETICAL AND APPLIED SCIENCES

Volume: 03 Issue: 05 | May 2022 ISSN: 2660-5317

## Исследование Взаимного Уноса Фаз В Барботажном Экстракторе С Увеличенным Временем Контакта

**Хурсанов Бойкузи Журакузиевич**

Ст. Преподаватель, Ферганский Политехнический Институт, Республика Узбекистан, Г. Фергана  
b.xursanov@ferpi.uz

**Алиматов Баходыр Абдуманнонович**

Д-Р Техн. Наук, Проф., Белгородский Государственный Технологический Университет Им. В.Г.  
Шухова, Рф, Г. Белгород  
aba02101949@rambler.ru

Received 24<sup>th</sup> Mar 2022, Accepted 13<sup>th</sup> Apr 2022, Online 10<sup>th</sup> May 2022

**Аннотация:** В статье представлены результаты экспериментальных исследований по определению уноса капель тяжелой жидкости при подаче легкой жидкости в зоны смешения многоступенчатого барботажного экстрактора с увеличенным временем контакта фаз.

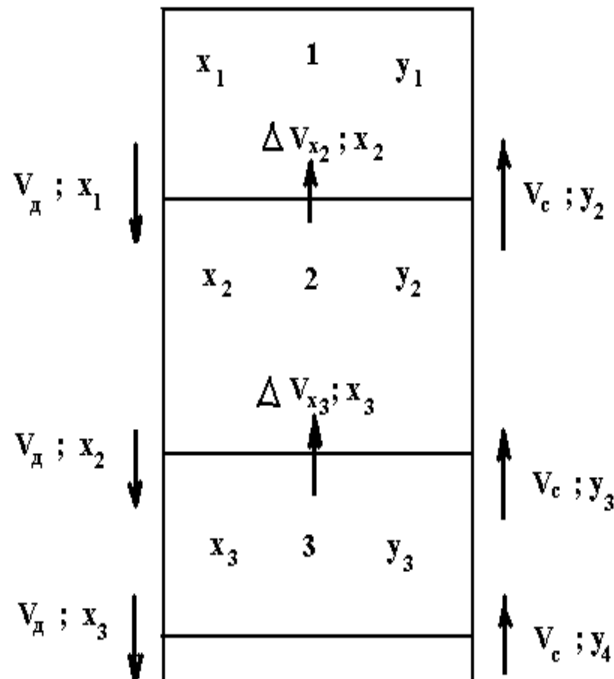
**Ключевые слова:** зоны смешения, дисперсная фаза, сплошная фаза, унос капель, размер капель, поток легкой жидкости, поток тяжелой жидкости, капли легкой фазы, капли тяжелой жидкости.

Одной из особенностей работы многоступенчатых смесительно-отстойных барботажных экстракторов является то, что ввиду полидисперсности образующихся в смесительных зонах капель, в зоны смешения вышележащих секций вместе с потоком сплошной (лёгкой) среды уносится часть дисперсной (тяжёлой) фазы, мелкие капли которой будут всегда находиться в верхних слоях жидкости в отстойной части секции. Возможен также унос в нижележащие секции и лёгкой жидкости, которая иногда (при плохих условиях расслаивания) в виде мельчайших капель задерживается в отстоявшемся слое тяжёлой жидкости.

Влияние уноса на общую эффективность смесительно-отстойного каскада изучал Слейхер и для случая взаимного уноса фаз им была получена довольно сложная математическая зависимость [1]. Трейбал [2] для иллюстрации степени влияния уноса фаз на общую эффективность смесительно-отстойного каскада, рассматривал (на основании данных Слейхера) случай экстракции, требующий пяти теоретических ступеней с КПД ступеней равных 0,9. Им было установлено, что даже значительная величина уноса (18-20 %) оказывает сравнительно небольшое влияние на эффективность смесительно-отстойного экстрактора.

Однако оценка влияния уноса на общее число ступеней не раскрывает его роли в механизме процесса и, следовательно, в методе расчёта количества ступеней экстракции.

В предлагаемых нами конструкциях многоступенчатых барботажных экстракторов в нижележащие секции осуществляется переток полностью отстоявшейся тяжёлой жидкости. В действительности, унос лёгкой жидкости в виде микроэмульсий существует, однако его величине превышает  $0,3 \div 0,4$  %. Это было подтверждено исследованиями при водной и бензольной стадиях экстракции капролактама на лабораторной и на опытно-промышленной установках. Пренебрегая уносом лёгкой жидкости, рассмотрим три смежные ступени барботажного экстрактора, считая их аппаратами идеального смешения (рис.1).



**Рис 1.** К вывлению относительного уноса при расчете барботажного экстрактора

Для средней ступени экстрактора уравнение материального баланса запишется в виде:

$$V_d \cdot x_1 + \Delta V_{x_3} \cdot x_3 + V_c \cdot y_3 = V_d \cdot x_2 + \Delta V_{x_2} \cdot x_2 + V_c \cdot y_2 \quad (1)$$

Поскольку  $\Delta V_d \ll V_d$  для смежных ступеней можно сделать допущение, что  $\Delta V_{x_3} = \Delta V_{x_2} = \Delta V_x$ . Можно также принять близкими изменения концентраций на соседних ступенях, т.е. считать:

$$y_2 - y_3 = y_1 - y_2; x_2 - x_3 = x_1 - x_2 \quad (2)$$

При таких условиях группировка членов уравнения (1) приводит к выражению:

$$Y = \Delta V_d / V_d (x_1 - x_2) = V_c / V_d (y_1 - y_2) + Y (x_1 - x_2) \quad (3)$$

$$\operatorname{tg} \alpha = V_d / V_c (1 - Y) = (y_1 - y_2) / (x_1 - x_2)$$

Разделив все члены этого уравнения на  $V_d$  и, введя обозначение относительного уноса  $Y = \Delta V_d / V_d$  получим:

$$(x_1 - x_2) = V_c / V_d (y_1 - y_2) + Y (x_1 - x_2) \quad (4)$$

откуда :

$$\begin{aligned}
 \operatorname{tg} \alpha &= V_D / V_c (1 - Y) = (y_1 - y_2) / (x_1 - x_2) \\
 \Delta u_d &= u_{\Pi} + u_{oc} \mu_D \ll \mu_c \omega_{\Pi} = 10 [\sigma_z (\rho_c \cdot d_{\Pi}^3)]^{0,5} A = d_{\Pi} / 2 \\
 d_{\Pi} &= 4 \cdot [\sigma_z (\rho_c \cdot g)]^{0,5} u_{oc} = \omega_{\Pi} \cdot A = 2,5 (\sigma_z \cdot g / \rho_c)^{0,25} \\
 u_{\Pi} &= 1,5 (\sigma \cdot g \cdot \rho / \rho_{ж}^2)^{0,25} \Delta u_D = 4 (\sigma_z \cdot g / \rho_c)^{0,25} \\
 P_c \cdot u_d^2 / 2 \sigma / d_{к.п} P_c \cdot u_d^2 / 2 &\geq \sigma / d_{к.п} = 0,0325 \sigma / (\sigma_z \cdot g \cdot \rho_c)^{0,5} \\
 F_{y0} &= 6 \cdot \varphi / d_{o.n.}; \quad \varphi = V_D / (V_c + V_D) \quad F_{y0} = 152 \cdot \varphi^{0,72} \cdot (w_z / \sigma^{0,6}) \cdot (\tau / \gamma_0)^{1/3} \cdot \exp(3,5 \cdot \Delta \rho / \rho_c)
 \end{aligned} \tag{5}$$

где  $\alpha$  – угол наклона рабочих линий процесса в ступени экстрактора.

Из уравнения (5) видно, что величина относительного уноса дисперсной фазы изменяет положение рабочей линии ступени экстракции. Следовательно, унос одной из фаз, аналогично продольному перемешиванию будет снижать движущую силу процесса массопередачи, не отражаясь при этом на величине КПД ступени. Это обычно следует учитывать при расчёте многоступенчатого смесительно-отстойного барботажного экстрактора графоаналитическим методом.

Пневмоперемешивание имеет свои специфические особенности, которые в конечном итоге отражаются на структуре образующейся эмульсии.

Такие объёмы жидкости могут находиться только в примыкающих к поверхности осциллирующего газового пузыря областях жидкости. При турбулентном режиме всплытия газовых пузырей и их осцилляции толщина пристенного слоя будет значительно меньше размера капли, устойчивого в ядре потока. Следовательно, в пристенном слое пузыря на каплю будет воздействовать пульсационный поток сплошной среды с максимальной разностью скоростей в масштабе капли:

$$\Delta u_d = u_{\Pi} + u_{oc} \tag{6}$$

где  $u_{\Pi}$  – скорость всплытия газового пузыря;

$u_{oc}$  – скорость осцилляционного колебания его поверхности.

Для газового пузыря при  $\mu_D \ll \mu_c$  можно получить частоту осцилляции:

$$\omega_{\Pi} = 10 [\sigma_z (\rho_c \cdot d_{\Pi}^3)]^{0,5} \tag{7}$$

Согласно данным работы [3], максимальную амплитуду колебаний газового пузыря можно выразить как  $A = d_{\Pi} / 2$ , а его средний размер определить по выражению:

$$d_{\Pi} = 4 \cdot [\sigma_z (\rho_c \cdot g)]^{0,5} \tag{8}$$

Тогда скорость осцилляции составит:

$$u_{oc} = \omega_{\Pi} \cdot A = 2,5 (\sigma_z \cdot g / \rho_c)^{0,25} \tag{9}$$

При массовом барботаже в пузырьковом режиме образуется полидисперсная система пузырей. В этом случае трудно выбрать расчётный размер газового пузыря, поэтому большинство исследователей [4,5 и др.] рекомендуют для расчёта скорости всплытия пузыря пользоваться уравнением:

$$u_{II}=1,5 (\sigma \cdot g \cdot \rho / \rho_{ж}^2)^{0,25} \quad (10)$$

При подстановке полученных данных , получаем:

$$\Delta u_{II}=4 (\sigma_2 \cdot g / \rho_c)^{0,25} \quad (11)$$

Обобщая результаты исследований Чинара и Черча по осцилляционному механизму дробления капель до устойчивого размера  $d_{к.п.}$  [6] ,можно получить следующую зависимость:

$$P_c \cdot u_d^2 / 2 \geq \sigma / d_{к.п.} \cdot d_{к.п.} \quad (12)$$

Или , с учётом выражения (10) , получаем :

$$d_{к.п.} = 0,0325 \sigma / (\sigma_2 \cdot g \cdot \rho_c)^{0,5} , \quad (13)$$

Так как, при пневмоперемешивании несмешивающихся жидкостей, немаловажную роль играет осцилляционный механизм дробления капель и при достаточно длительном времени перемешивания, можно получить достаточно мелкие капли дисперсной фазы.

Теоретическое описание процессов массопереноса в полидисперсной системе капель сопряжено с большими трудностями, поэтому с целью облегчения расчётов большинство исследователей заменяют полидисперсную систему монодисперсной с размером частиц, равным среднему размеру частиц полидисперсной системы. Это позволяет при расчёте коэффициентов массопереноса использовать соотношения, полученные для одиночной капли.

Расчёт удельной межфазной поверхности контакта фаз можно осуществить по зависимости:

$$F_{y\phi} = 6 \cdot \varphi / d_{o.n.}; \quad \varphi = V_D / (V_c + V_D) \quad (14)$$

где  $\varphi$ -объёмная доля дисперсной фазы ;

$V_c$  и  $V_D$ -расходы сплошной и дисперсной фаз,  $m^3 / c$ ;

$d_{o.n.}$  -средний объёмно-поверхностный диаметр капель, м.

Для расчёта удельной поверхности капель, образующихся в барботажной колонне периодического действия [7] было получено уравнение:

$$F_{y\phi} = 152 \cdot \varphi^{0,72} \cdot (w_2 / \sigma^{0,6}) \cdot (\tau / \gamma_\phi)^{1/3} \cdot \exp(3,5 \cdot \Delta\rho / \rho_c) \quad (15)$$

где  $\gamma_\phi$ - кинематическая вязкость дисперсной фазы .

При экспериментальном исследовании многоступенчатого экстрактора с трубчатой зоной смешения получено [8] следующее уравнение для расчёта удельной межфазной поверхности капель:

$$F_{y\phi} = 0,8 [(\tau^{0,33} \cdot w_2^{0,5} \cdot w_{ж}^{1,7} \cdot l^{0,33} \cdot \gamma_c^{0,67} \cdot \rho_c^{1,1}) / (\gamma_D \cdot \sigma^{1,1} \cdot d_{тр}^{0,9})] \cdot \exp [3,9(\rho_c - \rho_\phi) / \rho_c] \times \\ \times [V_D / (V_D + V_c)]^{0,72} \quad (16)$$

где  $l$ - длина труб, м;

$d_{тр}$  – диаметр труб , м .

Полученное при исследовании экстрактора с трубчатой циркуляционной зоной смешения жидкостей, т.е. аппарата, близкого к аппарату идеального смешения, уравнение выявляет основные

факторы, влияющие на механизм дробления капель, оно может быть применено для разработанного барботажного экстрактора с регулируемым размером капель, но не может быть строго применено для разработанных многоступенчатых барботажных экстракторов с прямоточным контактом реагирующих жидкостей в зоне смешения.

При исследовании процессов пневмодиспергирования в многоступенчатом барботажном экстракторе, было установлено, что при малом времени пребывания капель в зоне смешения, когда в механизме их дробления существенную роль играет их коалесценция, средний объёмно-поверхностный диаметр капель зависит от объёмной доли дисперсной фазы и среднего времени дробления  $\tau_{cp}$ .

Зависимость  $F_{y0} = f(\varphi^{0,72})$  в уравнении также свидетельствует о влиянии фактора коалесценции капель.

Специальные исследования, проведённые Иваненко [9] показали, что при  $\varphi \leq 0,1$  средний объёмно-поверхностный диаметр капель  $d_{o.п.}$  можно рассчитать по упрощённой зависимости:

$$d_{o.п.} = d_k \cdot \exp(0,29 K_{op} \cdot \tau_{cp}) \quad (17)$$

Где  $d_k$  – размер капель, устойчивых в турбулентном потоке сплошной среды;

$K_{op}$  – константа скорости дробления капель в пристенных слоях газовых пузырей.

Константа скорости дробления зависит от частоты столкновения капель с газовыми пузырями и может быть рассчитана по уравнению:

$$K_{op} = 1,6 \sigma_z^{0,7} \cdot w_z^{0,2} \quad (18)$$

где  $\sigma_z$  – поверхностное натяжение на границе сплошная среда-газ;

$w_z$  – приведённая скорость газа в зоне пневмоперемешивания.

Среднее время пребывания капель в зоне диспергирования  $\tau_{cp}$  можно рассчитать как :

$$\tau_{cp} = H / (u_c \pm u_d) \quad (19)$$

Знак плюс принимается при условии  $\rho_d < \rho_c$ , а знак минус при условии  $\rho_d > \rho_c$ .

При этом скорость движения капель дисперсной фазы можно рассчитать по формуле Адамара-Рыбчинского [10,11]:

$$w_d = [d_{o.п.}^2 (\rho_c - \rho_d) g] / 6 \mu_c \times [(\mu_c + \mu_d) / (2 \mu_c + 3 \mu_d)] \quad (20)$$

Руководствуясь вышеизложенными данными о пневмодиспергировании жидкостей, для условий конкретных технологических процессов, зависимость размеров капель от условий диспергирования можно представить в виде:

$$d_k = C \cdot w_z^a \cdot t_{cp}^b \cdot \sigma^c \cdot \mu_c^e \cdot \varphi^f \quad (21)$$

**Выводы.** При воздействии на каплю турбулентных пульсаций ядра потока, сдвиговых деформаций и осцилляций всплывающих газовых пузырей, происходит её деление с образованием очень мелких капель. Следовательно, количество этих капель будет зависеть от объёмной доли дисперсной фазы в потоке.

Показатели степеней постоянной множитель были найдены нами на основании экспериментального определения распределения по размерам выходящих из смесительной зоны экстрактора капель дисперсной фазы.

### Литература

1. Алиматов Б.А., Соколов В.Н. (1984). Экспериментальное исследование массообмена в многоступенчатом барботажном экстракторе // Деп. в ОНИИТЭХИМ, г. Черкассы, №229 хп-84 Деп.-7с.
2. Трейбал Р. (1966). Жидкостная экстракция. М.: Химия, 724с.
3. Shinar, R., & Church, J. M. (1960). Predicting particle size in agitated dispersion. *Industrial and Engineering Chemistry*, 52(3), 253-256.
4. Соколов В.Н. (1968). Меткин В.П., Доманский И.В. ЖПХ. т. 41, с. 1029-1036.
5. Соколов В.Н., Решанов А.С. (1961). Межфазная поверхность и относительный объем капель при диспергировании барботирующим газом. ЖПХ, т. 34, с. 1047-1052.
6. Горбунов А.В., Лосев Б.Д., Левина К.С. (1986). Метод расчета размеров капель дисперсной фазы при струйном истечении из сопла для систем жидкость-жидкость. ЖПХ. 59(5), с.1041-1044.
7. Алиматов Б.А., Хурсанов Б.Ж. и др. (2001). Исследование распределения капель по размерам в многоступенчатом барботажном экстракторе. *Науч.-техн. журн. Ферг. политехн. ин-та*. № 4. с. 70-73.
8. Соколов В.Н., Меткин В.П., Доманский И.В. (1968). Пневмодиспергирование несмешивающихся жидкостей в трубчатом барботажном экстракторе. ЖПХ, т. 41, с. 1029-1036.
9. Иваненко А.Ю., Соколов В.Н. Средний диаметр капель при диспергировании барботирующим газом. В сб. «Процессы переноса в гетерогенных средах». ОНИИТЭХИМ, г. Черкассы, №174 хп-Д82, с.37-45.
10. Левич В.Г. (1959). Физико-химическая гидродинамика. М.: Физматгиз, 699с.
11. Алиматов Б.А., Хурсанов Б.Ж. (1998). Расчет величины устойчивой зоны барботажного экстрактора. *Науч. техн. журн. Ферг. политехн. ин-та*. Фергана, 1(2). с.86-89.
12. Патент RU2658053 Многоступенчатый барботажный экстрактор. Б. Алиматов, Б.Хурсанов. 2018 г.
13. Алиматов, Б. А., Соколов, В. Н., & Хурсанов, Б. Ж. (2001). Влияние газосодержания на производительность барботажного экстрактора по тяжелой жидкости. *HTJ ФерПИ, Scientific-technical journal (STJ FerPI)*, 2, 93-94.
14. Karimov, I., Boykuzi, K., & Madaliyev, A. (2021). Volume-Surface Diameters of Drops in Barbotaj Extractor. *International Journal of Innovative Analyses and Emerging Technology*, 1(5), 94-99.
15. Хурсанов, Б. Ж., & Алиматов, Б. А. (2020). Экстракционное извлечение редких металлов из отвалов ГОК. *Universum: технические науки*, (6-1 (75)), 42-45.
16. Алиматов, Б. А., Соколов, В. Н., Салимов, З. С., & Хурсанов, Б. Ж. (2003). Исследование распределения капель по размерам в многоступенчатом барботажном экстракторе. *Журнал прикладной химии*, 76(8), 1309-1311.